



**EKO-CONNECT**

LABORATORIUM ANALIZY Pól ELEKTROMAGNETYCZNYCH

**EKO-Connect Sp. z o.o.**

60-591 POZNAŃ, ul. MIODOWA 14A

Tel. 790 200 181

Tel. 790 004 761

e-mail: [laboratorium@eko-connect.pl](mailto:laboratorium@eko-connect.pl)


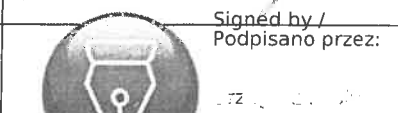



AB 1810

# SPRAWOZDANIE NR OS/0015/23

## Z POMIARÓW NATĘŻENIA Pól ELEKTROMAGNETYCZNYCH

### WYKONANYCH DLA CELÓW OCHRONY ŚRODOWISKA

Miejsce wykonania badania: <small>(dane uzyskane od zleceniodawcy)</small>	<b>CIE3311</b> Chrzanówek, dz. nr 220/2, pow. ciechanowski, woj. MAZOWIECKIE
Współrzędne geograficzne:	52°52'16.46"N, 20°38'37.38"E
Data wykonania pomiarów:	23.01.2023
Data wydania sprawozdania:	23.01.2023 r
Zleceniodawca:	P4 sp. z o.o. ul. Wynalazek 1 02-667 Warszawa
Sprawozdanie sporządził:	
Sprawozdanie autoryzował:	 Signed by / Podpisano przez:  Date / Data: 2023-01-23 17:52

## 1. INFORMACJE O UŻYTKOWNIKU

1.1. Zleceniodawca: P4 sp. z o.o. ul. Wynalazek 1, 02-667 Warszawa

1.2. Charakterystyka obiektu:

- **Typ obiektu:** Instalacja radiokomunikacyjna zainstalowana na wieży kratowej
- **Numer obiektu:** CIE3311
- **Adres obiektu:** Chrzanówek, dz. nr 220/2, pow. ciechanowski, woj. MAZOWIECKIE
- **Współrzędne geograficzne:** 52°52'16.46"N, 20°38'37.38"E

## 2. CHARAKTERYSTYKA ŹRÓDEŁ PEM (dane pozyskane od Klienta)

Tabela 1. Parametry systemu nadawczo-odbiorczego

Charakterystyka promieniowania		kierunkowa										
Rzeczywisty czas pracy [h/dobę]		24										
Rodzaj wytwarzanego pola		stacjonarne										
Lp	Wyszczególnienie	sektor 1					sektor 2					
<b>I</b>												
Nadajnik stacji bazowej:												
1	Typ / Producent	DBS/RBS / Overlay Huawei/Ericsson										
2	Częstotliwość (pasmo) MHz	2600	800	2100	1800	900	2600	800	2100	1800	900	
3	Maksymalna moc nadawana na sektor [dBm]	52,04	46,02	53,01	53,01	46,02	52,04	46,02	53,01	53,01	46,02	
<b>II</b>												
Obciążenie:												
1	Typ anteny	Huawei ATR4518R6		Huawei ATR4518R6			Huawei ATR4518R6		Huawei ATR4518R6			
2	Producent anteny	Huawei		Huawei			Huawei		Huawei			
3	Nazwa anteny	11_H V	11_H V	12_GHLN T	12_GHLN T	12_GHLN T	21_H V	21_H V	22_GHLN T	22_GHLN T	22_GHLN T	
4	Ilość anten	1		1			1		1			
5	Azymut	50					160					
6	Zakres kątów pochylenia anten [°]	0,00-10,00					0,00-10,00					
7	Wysokość zainst. n.p.t. [m]	59,00					59,00					
8	EIRP [W]	11812		23089			11812		23089			

Charakterystyka promieniowania		kierunkowa				
Rzeczywisty czas pracy [h/dobę]		24				
Rodzaj wytwarzanego pola		stacjonarne				
Lp	Wyszczególnienie	sektor 3				
I	Nadajnik stacji bazowej:					
1	Typ / Producent	DBS/RBS / Overlay Huawei/Ericsson				
2	Częstotliwość (pasmo) MHz	2600	800	2100	1800	900
3	Maksymalna moc nadawana na sektor [dBm]	52,04	46,02	53,01	53,01	46,02
II	Obciążenie:					
1	Typ anteny	Huawei ATR4518R6		Huawei ATR4518R6		
2	Producent anteny	Huawei		Huawei		
3	Nazwa anteny	31_HV	31_HV	32_GHLNT	32_GHLNT	32_GHLNT
4	Ilość anten	1		1		
5	Azymut	270				
6	Zakres kątów pochylenia anten [°]	0,00-10,00				
7	Wysokość zainst. n.p.t. [m]	59,00				
8	EIRP [W]	11812		23089		

**Tabela 2. Parametry radiolinii**

Charakterystyka promieniowania		kierunkowa					
Rzeczywisty czas pracy [h/dobę]		24					
Rodzaj wytwarzanego pola		stacjonarne					
Lp	Linia radiowa			Antena			
	typ/producent	częstotliwość pracy [GHz]	moc wyjściowa [dBm]	typ/producent	średnica anteny [m]	azymut [°]	wysokość zainstal. [m]
1	MINI-LINK/ERICSSON	80	18	ANT2 B 0.3 80 HP/Ericsson	0,3	337	57,00

**Inne źródła PEM:** W obszarze pomiarowym badanego obiektu **nie występują** inne źródła promieniowania pola elektromagnetycznego, które w zakresie badanych częstotliwości bezpośrednio wpływają na wynik wartości mierzonej natężenia pola.

### 3. OPIS POMIARÓW

**Cel badań:** Sprawdzenie dotrzymania dopuszczalnych poziomów pól elektromagnetycznych, w otoczeniu instalacji wytwarzających takie pola.

**3.1. Data pomiarów:** 23.01.2023

**3.2. Nazwiska osób wykonujących pomiary:**

**3.3. Osoba towarzysząca:** brak

**3.4. Aparatura pomiarowa:**

Tabela 3. Opis zestawu pomiarowego

Nazwa	Typ/model	Numer fabryczny/SN	Świadectwo wzorcowania	Zastosowanie
Szerokopasmowy miernik natężenia pola elektromagnetycznego	NBM- 520	D-2225	LWiMP/W/087/22 z dnia 19.05.2022 (Laboratorium Wzorców i Metrologii Pola Elektromagnetycznego Instytutu Telekomunikacji, Teleinformatyki i Akustyki Politechniki Wrocławskiej)	Pomiary pola elektromagnetycznego
Sonda pomiarowa pola elektrycznego	EF-9091	A-0136		Pomiary pola elektromagnetycznego
Termohigrometr	ETI 600 224-600	D22060187	LPTW/327/2022 z dnia 10.05.2022 (LPTW)	Pomiary wilgotności względnej powietrza Pomiary temperatury powietrza
Dalmierz laserowy	PLR30C	221220722	45854/2 /2022 z dnia 17.05.2022 (Laboratorium pomiarowe LABOTRONIC)	Pomiar odległości
Odbiornik GPS	Garmin GLO 2	1792A-A1156	-	Pomiar współrzędnych geograficznych

### 3.5. Wyznaczenie niepewności pomiarów:

Ocenę niepewności przyjmuje się zgodnie z procedurą stosowaną w laboratorium

Wyznaczona niepewność pomiaru dla zestawu pomiarowego z pkt.3.5 w dniu pomiaru wynosi 21,46%.

### 3.6. Kryteria przedstawiania stwierdzeń zgodności

Niniejsze sprawozdanie zgodnie z zasadami systemu akredytacji zawiera stwierdzenia zgodności.

W przypadku badań poziomów pola elektromagnetycznego w środowisku stwierdzenie zgodności dotyczy rozstrzygnięcia, czy zmierzona wartość opisująca pole elektromagnetyczne przekracza wartość dopuszczalną dla zakresu częstotliwości, w którym pracują źródła podane w Rozporządzeniu Ministra Zdrowia z dnia 17 grudnia 2019 r. w sprawie dopuszczalnych poziomów pól elektromagnetycznych w środowisku (Dz. U. z 2019 r. poz. 2448).

### 3.7. Metodyka wykonania pomiarów:

Zastosowano metodę znormalizowaną w oparciu o Rozporządzenie Ministra Klimatu i Środowiska z dnia 6 maja 2022 r. zmieniające rozporządzenie w sprawie sposobów sprawdzania dotrzymania dopuszczalnych poziomów pól elektromagnetycznych w środowisku (Dz.U. 2022 poz. 1121)

### 3.8. Przepisy prawne:

- Ustawa z dnia 27 kwietnia 2001 r. Prawo ochrony środowiska (Dz. U. z 2019 r. poz. 1396 późn.zm.),
- Rozporządzenie Ministra Zdrowia z dnia 17 grudnia 2019 r. w sprawie dopuszczalnych poziomów pól elektromagnetycznych w środowisku (Dz. U. z 2019 r. poz. 2448).
- Rozporządzenie Ministra Klimatu i Środowiska z dnia 6 maja 2022 r. zmieniające rozporządzenie w sprawie sposobów sprawdzania dotrzymania dopuszczalnych poziomów pól elektromagnetycznych w środowisku (Dz.U. 2022 poz. 1121)

### 3.9. Opis pomiarów

Stacja bazowa CIE3311 usytuowana jest na wieży kratowej zlokalizowanej pod adresem Chranówek, dz. nr 220/2, pow. ciechanowski, woj. MAZOWIECKIE. Anteny i moduły RRU zamontowane są na antenowych konstrukcjach wsporczych a urządzenia są w szafie APM zainstalowanej u podnóża wieży. W otoczeniu stacji zlokalizowana jest zabudowa jednorodzinna oraz tereny nie zabudowane. Analiza parametrów technicznych wykazała, że urządzenia nadawcze stacji pracują w paśmie częstotliwości zgodnie z tabelą 1 oraz tabelą 2. Moc wyjściowa nadajników doprowadzona jest do anten przy pomocy ekranowanych fiderów.

Pomiary w otoczeniu Stacji bazowej wykonano wzdłuż kierunków maksymalnego zasięgu oddziaływania pola elektromagnetycznego na azymucie anten sektorowych do odległości 590 m od obiektu, w godzinach od 15:50 do 16:30, podczas rzeczywistej pracy urządzeń wytwarzających pola elektromagnetyczne. Pomiary wykonano dla średniego pochylenia wiązki liczonego jako średnia arytmetyczna z minimalnej i maksymalnej wartości stosowanego lub planowanego kąta pochylenia

Pomiary w przyjętych pionach pomiarowych wykonano w punktach położonych na wysokościach od 0,3 m do 2,0 m nad powierzchnią ziemi lub nad innymi powierzchniami, na których mogą przebywać ludzie, przyjmując za wynik pomiaru maksymalny poziom natężenia pól elektromagnetycznego.

Przy doborze pionów pomiarowych uwzględniono charakter i sposób zagospodarowania terenu otaczającego stację bazową.

### 3.10. Warunki meteorologiczne / środowiskowe:

Miejsce pomiaru	Temperatura (Minimalna/Maksymalna) [°C]	Wilgotność (Minimalna/Maksymalna) [%]	Opady atmosferyczne
Wieża	1,5/1,8	65,5/66,0	nie wystąpiły

### 3.11. Sposób identyfikacji widma częstotliwości:

Parametry stacji bazowej uzyskane od właściciela instalacji stacji bazowej.

#### 4. WYNIKI POMIARÓW

Wyniki pomiarów ważne są jedynie dla danej konfiguracji urządzeń w dniu, w którym wykonano pomiary.

Wynik pomiaru, to maksymalna wartości chwilowa zmierzona w danym pionie pomiarowym powiększona o rozszerzoną niepewność pomiaru U dla współczynnika rozszerzenia  $k = 2$ .

**Tabela 3. Dopuszczalne poziomy pól elektromagnetycznych**

Parametr fizyczny Zakres częstotl. pola elektromagnetycznego	Składowa elektryczna	Składowa magnetyczna
od 400 MHz do 2000 MHz	$1,375 \times f^{0,5}$ V/m	$0,0375 \times f^{0,5}$ A/m
Od 2 GHz do 300 GHz	61 V/m	0,16 A/m

Do wyznaczania wartości wskaźnikowych  $WM_E$  i  $WM_H$  przyjęto najniższe wartości dopuszczalne poziomów pól elektromagnetycznych w/w zakresów częstotliwości.

**Tabela 4. Wyniki pomiarów**

Nr pionu	Opis miejsca pomiaru	Współrzędne geograficzne		$E_p$ [V/m]	U [V/m]	$E_p + U$ [V/m]	H [A/m]	$WM_E$	$WM_H$	Przekroczenie wartości dopuszczalnej
		[°] N	[°] E							
1	Poziom gruntu - os głównej wiązki anteny radioliniowej azymut 337st	52,871601171	20,643430877	1,08	0,24	1,32	0,004	0,05	0,047	nie przekracza
2	Poziom gruntu - os głównej wiązki anteny radioliniowej azymut 337st*	52,871974079	20,643132574	<0,80	0,18	0,98	0,003	0,04	0,035	nie przekracza
3	Poziom gruntu - pomocniczy pion pomiarowy	52,872097660	20,644116197	0,96	0,21	1,17	0,003	0,04	0,042	nie przekracza
4	Poziom gruntu - os głównej wiązki anteny sektorowej azymut 50st	52,871420358	20,644308722	0,90	0,20	1,10	0,003	0,04	0,039	nie przekracza
5	Poziom gruntu - os głównej wiązki anteny sektorowej azymut 50st	52,871712800	20,644901495	0,98	0,22	1,20	0,003	0,04	0,043	nie przekracza
6	Poziom gruntu - os głównej wiązki anteny sektorowej azymut 50st	52,872106519	20,645725979	0,94	0,21	1,15	0,003	0,04	0,019	nie przekracza
7	Poziom gruntu - os głównej wiązki anteny sektorowej azymut 50st	52,872487669	20,646587808	1,09	0,24	1,33	0,004	0,05	0,022	nie przekracza
8	Poziom gruntu - os głównej wiązki anteny sektorowej azymut 50st	52,872839349	20,647109573	0,89	0,20	1,09	0,003	0,04	0,018	nie przekracza
9	Poziom gruntu - os głównej wiązki anteny sektorowej azymut 50st*	52,873222057	20,647858500	<0,80	0,18	0,98	0,003	0,04	0,016	nie przekracza
10	Poziom gruntu - os głównej wiązki anteny sektorowej azymut 50st*	52,873603976	20,648663905	<0,80	0,18	0,98	0,003	0,04	0,016	nie przekracza
11	Poziom gruntu - os głównej wiązki anteny sektorowej azymut 50st	52,874071693	20,649444332	0,85	0,19	1,04	0,003	0,04	0,017	nie przekracza
12	Poziom gruntu - os głównej wiązki anteny sektorowej azymut 50st*	52,874303046	20,650026068	<0,80	0,18	0,98	0,003	0,04	0,035	nie przekracza
13	Poziom gruntu - os głównej wiązki anteny sektorowej azymut 50st*	52,874554626	20,650425385	<0,80	0,18	0,98	0,003	0,04	0,035	nie przekracza
14	Poziom gruntu - pomocniczy pion pomiarowy*	52,872188999	20,649330295	<0,80	0,18	0,98	0,003	0,04	0,035	nie przekracza
15	Poziom gruntu - pomocniczy pion pomiarowy*	52,870927525	20,647323829	<0,80	0,18	0,98	0,003	0,04	0,035	nie przekracza

Nr pionu	Opis miejsca pomiaru	Współrzędne geograficzne		$E_p$ [V/m]	U [V/m]	$E_p + U$ [V/m]	H [A/m]	WM <sub>e</sub>	WM <sub>h</sub>	Przekroczenie wartości dopuszczalnej
		[°]N	[°]E							
16	Poziom gruntu - oś głównej wiązki anteny sektorowej azymut 160st	52,870538220	20,644126435	0,98	0,22	1,20	0,003	0,04	0,043	nie przekracza
17	Poziom gruntu - oś głównej wiązki anteny sektorowej azymut 160st	52,870899467	20,643875555	1,09	0,24	1,33	0,004	0,05	0,048	nie przekracza
18	Poziom gruntu - oś głównej wiązki anteny sektorowej azymut 160st*	52,870139841	20,644278190	<0,80	0,18	0,98	0,003	0,04	0,035	nie przekracza
19	Poziom gruntu - oś głównej wiązki anteny sektorowej azymut 160st	52,869636491	20,644604235	0,94	0,21	1,15	0,003	0,04	0,041	nie przekracza
20	Poziom gruntu - oś głównej wiązki anteny sektorowej azymut 160st	52,869185450	20,644922667	1,09	0,24	1,33	0,004	0,05	0,048	nie przekracza
21	Poziom gruntu - oś głównej wiązki anteny sektorowej azymut 160st*	52,868515400	20,645267064	<0,80	0,18	0,98	0,003	0,04	0,035	nie przekracza
22	Poziom gruntu - oś głównej wiązki anteny sektorowej azymut 160st	52,867866074	20,645692513	0,90	0,20	1,10	0,003	0,04	0,039	nie przekracza
23	Poziom gruntu - oś głównej wiązki anteny sektorowej azymut 160st*	52,867288775	20,646092457	<0,80	0,18	0,98	0,003	0,04	0,035	nie przekracza
24	Poziom gruntu - oś głównej wiązki anteny sektorowej azymut 160st	52,866794046	20,646428031	0,82	0,18	1,00	0,003	0,04	0,036	nie przekracza
25	Poziom gruntu - oś głównej wiązki anteny sektorowej azymut 160st*	52,866155752	20,646808774	<0,80	0,18	0,98	0,003	0,04	0,035	nie przekracza
26	Poziom gruntu - pomocniczy pion pomiarowy*	52,868554233	20,647769178	<0,80	0,18	0,98	0,003	0,04	0,035	nie przekracza
27	Poziom gruntu - pomocniczy pion pomiarowy*	52,868147841	20,641205013	<0,80	0,18	0,98	0,003	0,04	0,035	nie przekracza
28	Poziom gruntu - pomocniczy pion pomiarowy	52,870089778	20,640713965	0,85	0,19	1,04	0,003	0,04	0,037	nie przekracza
29	Poziom gruntu - pomocniczy pion pomiarowy*	52,870092953	20,638137595	<0,80	0,18	0,98	0,003	0,04	0,035	nie przekracza
30	Poziom gruntu - pomocniczy pion pomiarowy	52,870076438	20,636645252	0,82	0,18	1,00	0,003	0,04	0,036	nie przekracza
31	Poziom gruntu - pomocniczy pion pomiarowy	52,870491067	20,634372174	0,85	0,19	1,04	0,003	0,04	0,037	nie przekracza
32	Poziom gruntu - oś głównej wiązki anteny sektorowej azymut 270st*	52,871132744	20,634999277	<0,80	0,18	0,98	0,003	0,04	0,035	nie przekracza
33	Poziom gruntu - oś głównej wiązki anteny sektorowej azymut 270st	52,871138496	20,635979036	0,89	0,20	1,09	0,003	0,04	0,039	nie przekracza
34	Poziom gruntu - oś głównej wiązki anteny sektorowej azymut 270st	52,871140219	20,636974566	0,96	0,21	1,17	0,003	0,04	0,042	nie przekracza
35	Poziom gruntu - oś głównej wiązki anteny sektorowej azymut 270st	52,871142287	20,637944583	0,89	0,20	1,09	0,003	0,04	0,039	nie przekracza
36	Poziom gruntu - oś głównej wiązki anteny sektorowej azymut 270st	52,871135923	20,638965333	0,85	0,19	1,04	0,003	0,04	0,037	nie przekracza
37	Poziom gruntu - oś głównej wiązki anteny sektorowej azymut 270st	52,871144391	20,640323036	1,09	0,24	1,33	0,004	0,05	0,048	nie przekracza
38	Poziom gruntu - oś głównej wiązki anteny sektorowej azymut 270st	52,871131063	20,641287504	0,90	0,20	1,10	0,003	0,04	0,039	nie przekracza
39	Poziom gruntu - oś głównej wiązki anteny sektorowej azymut 270st*	52,871100446	20,642222077	<0,80	0,18	0,98	0,003	0,04	0,035	nie przekracza
40	Poziom gruntu - oś głównej wiązki anteny sektorowej azymut 270st	52,871124494	20,643041748	0,82	0,18	1,00	0,003	0,04	0,036	nie przekracza
41	Poziom gruntu - pomocniczy pion pomiarowy	52,872942582	20,641759018	0,96	0,21	1,17	0,003	0,04	0,042	nie przekracza
42	Poziom gruntu - pomocniczy pion pomiarowy*	52,873853442	20,641833081	<0,80	0,18	0,98	0,003	0,04	0,035	nie przekracza
43	Poziom gruntu - pomocniczy pion pomiarowy*	52,875510559	20,641737026	<0,80	0,18	0,98	0,003	0,04	0,035	nie przekracza
44	Poziom gruntu - pomocniczy pion pomiarowy*	52,876277512	20,641805658	<0,80	0,18	0,98	0,003	0,04	0,035	nie przekracza

Nr pionu	Opis miejsca pomiaru	Współrzędne geograficzne		$E_p$ [V/m]	U [V/m]	$E_p + U$ [V/m]	H [A/m]	WM <sub>E</sub>	WM <sub>H</sub>	Przekroczenie wartości dopuszczalnej
		[°]N	[°]E							
45	Poziom gruntu - pomocniczy pion pomiarowy*	52,87656847	20,64332386	<0,80	0,18	0,98	0,003	0,04	0,035	nie przekracza
46	Poziom gruntu - pomocniczy pion pomiarowy*	52,87706757	20,63846408	<0,80	0,18	0,98	0,003	0,04	0,035	nie przekracza
47	Poziom gruntu - pomocniczy pion pomiarowy*	52,87286482	20,63870227	<0,80	0,18	0,98	0,003	0,04	0,035	nie przekracza
48	Poziom gruntu - pomocniczy pion pomiarowy*	52,87335169	20,63645998	<0,80	0,18	0,98	0,003	0,04	0,035	nie przekracza
49	Poziom gruntu - pomocniczy pion pomiarowy*	52,87481313	20,63560642	<0,80	0,18	0,98	0,003	0,04	0,035	nie przekracza
50	Poziom gruntu - pomocniczy pion pomiarowy*	52,87316711	20,63444162	<0,80	0,18	0,98	0,003	0,04	0,035	nie przekracza
51	Poziom gruntu - pomocniczy pion pomiarowy*	52,87287293	20,63553083	0,82	0,18	1,00	0,003	0,04	0,036	nie przekracza
52	Poziom gruntu - pomocniczy pion pomiarowy*	52,87181339	20,63449719	<0,80	0,18	0,98	0,003	0,04	0,035	nie przekracza
53	Poziom gruntu - pomocniczy pion pomiarowy*	52,87041895	20,63588976	<0,80	0,18	0,98	0,003	0,04	0,035	nie przekracza
54	Poziom gruntu - pomocniczy pion pomiarowy*	52,87629294	20,63686177	0,82	0,18	1,00	0,003	0,04	0,036	nie przekracza
55	Poziom gruntu - pomocniczy pion pomiarowy*	52,87449545	20,63728303	<0,80	0,18	0,98	0,003	0,04	0,035	nie przekracza

**Objaśnienia:**

$$E_p: E_{poprawne} = E_{wskazane} * C_{d(E)} * C_{f(f)}$$

U - rozszerzona niepewność pomiaru dla współczynnika rozszerzenia  $k=2$  (poziom ufności 95%) –  $U = k \times U_c$

H – wyznaczona wartość natężenia pola magnetycznego z uwzględnieniem współczynnika korekcyjnego oraz rozszerzonej niepewności pomiaru.

WM<sub>E</sub> - wartość wskaźnikowa poziomu oddziaływania pól elektromagnetycznych dla miejsc dostępnych dla ludności dla składowej elektrycznej pola.

WM<sub>H</sub> - wartość wskaźnikowa poziomu oddziaływania pól elektromagnetycznych dla miejsc dostępnych dla ludności dla składowej magnetycznej pola.

\* wartość zmierzona poniżej zakresu akredytacji



## 5. WNIOSKI

Stwierdza się, iż na podstawie uzyskanych wyników pomiarów i informacji uzyskanych od operatora, w otoczeniu stacji bazowej telefonii komórkowej CIE3311 w miejscach dostępnych dla ludności, w których dokonano pomiaru, nie zostały przekroczone wartości graniczne poziomów pól elektromagnetycznych określonych w Rozporządzeniu Ministra Zdrowia z dnia 17 grudnia 2019 r. w sprawie dopuszczalnych poziomów pól elektromagnetycznych w środowisku (Dz. U. z 2019 r. poz. 2448).

W przypadku wprowadzenia na części albo całym terytorium Rzeczypospolitej Polskiej stanu nadzwyczajnego, o którym mowa w art. 228 ust. 1 Konstytucji Rzeczypospolitej Polskiej z dnia 2 kwietnia 1997 r. (Dz. U. poz. 483, z 2001 r. poz. 319, z 2006 r. poz. 1471 oraz z 2009 r. poz. 946), lub stanu zagrożenia epidemicznego lub stanu epidemii, o których mowa w art. 46 ustawy z dnia 5 grudnia 2008 r. o zapobieganiu oraz zwalczaniu zakażeń i chorób zakaźnych u ludzi (Dz. U. z 2020 r. poz. 1845, z późn. zm.), pomiarów, o których mowa w ust. 1, nie przeprowadza się w lokalach mieszkalnych oraz w lokalach użytkowych zlokalizowanych na terytorium objętym stanem nadzwyczajnym, stanem zagrożenia epidemicznego lub stanem epidemii.

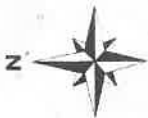
- Sprawozdanie zawiera 10 stron
- załączniki: nr 1 – mapa z rozmieszczeniem pionów pomiarowych wokół obiektu

Bez pisemnego zezwolenia laboratorium Eko-Connect sprawozdanie nie może być powielane inaczej, jak tylko w całości.

■ Otrzymują:

1. Zleceniodawca: - 1 egz.
2. a / a: 1 egz.

**Koniec sprawozdania**



EKO-CONNECT		Laboratorium Badawcze Eko-Connect Sp. z o.o 60-591 POZNAN, ul. MIODOWA 14A	
Obiekt:	Instalacja radiokomunikacyjna CIE3311 Chrzanówek, dz. nr 220/2, pow. ochotowski, woj. MAZOWIECKIE	Opracował:	1
Inwestor:	P4 Sp. z o.o. ul. Wynałazek 1	Sprawdził:	
Nazwa projektu	Sprawozdanie z pomiarów natężenia pól elektromagnetycznych wykonanych dla celów ochrony środowiska	Nr sprawozdania:	OS/0015/23
Nazwa rysunku	Rozmieszczenie pionów pomiarowych		
Nr rysunku	CIE3311/1	Skala	1:6000
		Data:	23.01.2023

Legenda:  
 - Punkty (piony) pomiarowe

